

ارزیابی تغییرپذیری مکانی عناصر پرصرف و برخی ویژگیهای خاک بر عملکرد گندم

علیداد کرمی

عضو هیات علمی مرکز تحقیقات کشاورزی و منابع طبیعی فارس

چکیده

تعیین مقادیر عناصر غذایی در نقاط مختلف مزرعه و مدیریت بهینه پارامترهای خاک منجر به افزایش تولید و حفظ منابع آب و خاک میشود. بدین منظور تغییرپذیری مکانی عناصر غذایی پرصرف در خاک و دانه گندم، درصد اشباع (SP)، جرم ویژه ظاهری، درصد اندازه ذرات، T.N.V.، EC، pH و عملکرد گندم ارزیابی گردید. در این پژوهش به طور تصادفی و با پراکنش مناسب در ۳۶ نقطه از مزرعه ۴۰ هکتاری عملکرد گندم ارزیابی و نمونههای دانه گندم و نمونههای خاک برای تجزیههای مختلف تهیه گردید. میانیابی پارامترها در نقاط فاقد داده با روشهای کربیجنگ، وزن دادن عکس فاصله و کوکربیجنگ، و با برازش مدل‌های خطی، نمایی، گوسی و کروی بر نیمتغیرنمای تجربی انجام شد. نتایج نشان داد: بین پارامترهای مختلف همبستگی منطقی خطی وجود داشت. عملکرد دانه گندم با میانگین ۴۹۲۰، از ۲۵۵۰ تا ۶۱۵۰ مدل کلیوگرم در هکتار متغیر بود. بهترین مدل واریوگرامی عملکرد دانه و وزن هزار دانه مدل کروی بود. بهترین مدل برای P، EC، T.N.V.، pH و K مدل کروی و برای عکس فاصله، و برای EC، pH و K خاک روش کربیجنگ و برای K فاکتورهای کمکی کربن لی خاک روش کوکربیجنگ بود. مقادیر EC و K خاک از جنوب شرقی مزرعه به شمال غربی افزایش داشت. غلظت نیتروژن و فسفر دانه گندم از ساختار مکانی قوی و غلظت پتانسیم دانه از ساختار مکانی متوسط برخوردار بود. بهترین مدل نیمتغیرنما برای پتانسیم دانه گندم با فاکتورهای کمکی کربن آلی و pH خاک مدل کروی و برای فاکتور کمکی درصد سیلت خاک مدل گوسی بود. بهترین روش میانیابی برای نیتروژن دانه، روش کربیجنگ و برای فسفر و پتانسیم دانه گندم روش وزن دادن عکس فاصله بود.

واژه‌های کلیدی: بافت خاک، پتانسیم، فسفر، کشاورزی دقیق، کربن آلی

مقدمه

تعیین و تأمین نیاز غذایی واقعی محصول بر اساس ویژگیهای خاک موجب رشد مناسبتر محصول شده و در نهایت علاوه بر افزایش تولید محصول و حفظ محیط زیست از هدر دادن سرمایه جلوگیری نموده و پایداری تولید را افزایش میدهد. پژوهش‌های زیادی در رابطه با تغییرات مکانی ویژگیهای فیزیکی و شیمیایی خاک و برآوردن آنها با استفاده از روشهای زمین‌آماری انجام شده است (Perez et al., ۲۰۰۷). واستگی مکانی قوی ویژگیهای خاک با فاکتورهای ذاتی مانند بافت و میزان‌الوزی کنترل میشود در حالی که واستگی مکانی ضعیف با فاکتور خارجی مانند مدیریت زارع (کوددهی) کنترل میشود (Liu et al., ۲۰۰۹).

ساختار مکانی کربن آلی خاک از چند ده متری (Kirwan et al., ۲۰۰۵)، تا چند ده متری (Oake-Anti and Ogoe, ۲۰۰۶) (Cerri et al., ۲۰۰۴) گزارش شده است. تشخیص الگوی پراکنش مکانی از این لحاظ مهم است که میتواند به طور فزاینده‌ای برای مدیریت منابع طبیعی (Wang et al., ۲۰۰۹)، پیش‌بینی ویژگیهای خاک در نقاط نمونه‌برداری نشده (Liu et al., ۲۰۰۹) و برای بهبود طراحی شبکه نمونه‌برداری مطالعات اکولوژیکی-کشاورزی آینده (Rossi et al., ۲۰۰۹) استفاده شود. با روشهای زمین‌آماری، ویژگیهای خاک سطحی، عناصر غذایی خاک (Newman et al., ۱۹۹۷)، ایشووی نیترات (Ersahin, ۲۰۰۱) و توزیع ویژگیهای فیزیکی خاک (Sepaskhah et al., ۲۰۰۵) برای برآورد تغییرات مکانی ویژگیهای خاک آنالیز گردیده است. تغییرپذیری مکانی عناصر غذایی اصلی، ماده آلی و مقدار رس در شالیزارهای کوچک نیز گزارش شده است (Moritsuka et al., ۲۰۰۴).

مواد و روشها

برای ارزیابی تغییرپذیری مکانی پارامترهای خاکی و عملکرد دانه گندم پژوهش در مزرعه تحقیقاتی و با مدیریت یکسان انجام گردید. بدین منظور، قطعه مزرعهای ۴۰ هکتاری که از یک سیستم آبیاری بارانی سنتریپوت آبیاری میشد انتخاب گردید. بصورت تصادفی از ۳۶ نقطه مزرعه مزبور نمونه‌برداری خاک از لایه ۰-۳۰ سانتی‌متری تهیه و تجزیه و عملکرد گندم در سطح ۲ مترمربعی نیز اندازه‌گیری شد. از عمقهای ۱۵ و ۳۰-۱۵ سانتی‌متری سطحی نمونه خاک دست نخورده تهیه و BD اندازه‌گیری شد. مقادیر کربن آلی، فسفر، پتانسیم، درصد اندازه ذرات، EC و pH خاک و مقادیر عناصر غذایی اصلی، ماده آلی و داده‌ها در محیط Excel درج و محاسبات آمار کلاسیک با نرمافزار SPSS و محاسبات زمین‌آماری با GS+ انجام گردید. از نرمافزارهای Arc GIS +AGRO-MAP، Excel، Surfer، SPSS، GS برای محاسبات استفاده شد. میانیابی پارامترها در نقاط فاقد داده با روشهای کربیجنگ، وزن دادن عکس فاصله و کوکربیجنگ، و با برازش مدل‌های خطی، نمایی، گوسی و کروی بر نیمتغیرنمای تجربی انجام شد. برای بیان خطای مطلق و ارزیابی برآوردها و انتخاب روش مناسب درونیابی از اماراتهای میانگین اربیت خطاهای (MBE)، میانگین مطلق خطاهای (MAE)، ریشه دوم میانگین مربuat خطاهای (RMSE) و واریانس اشتباہ معیار (MSDR) استفاده گردید. در نهایت بر اساس بهترین مدل واریوگرامی و بهترین میانیاب تخمین ویژگیها در نقاط فاقد داده انجام شد و نقشه‌های مربوطه ترسیم و تجزیه و تحلیل لازم انجام شد.

نتایج و بحث

همبستگی قوی و مثبت بین عملکرد دانه گندم و وزن هزار دانه مشاهده شد که در سطح یک درصد نیز معنیدار بود. بین وزن هزار دانه گندم و میزان شوری خاک و میزان سیلت خاک نیز همبستگی منفی وجود داشت که در سطح ۵ درصد معنیدار بود. در ارزیابی پارامترهای خاکی نیز بین درصد اشباع خاک و پتانسیم، سیلت، و رس خاک همبستگی مثبت وجود داشت ولی بین درصد اشباع خاک و درصد شن، ماده آلی و T.N.V خاک همبستگی منفی وجود داشت. کربن آلی خاک با مقادیر درصد اشباع، قابلیت هدایت الکتریکی، پتانسیم قابل جذب خاک، منگنز قابل جذب خاک و درصد سیلت خاک همبستگی مثبت ولی با T.N.V خاک همبستگی منفی نشان داد.

پتانسیم قابل جذب خاک با مقادیر درصد اشباع، قابلیت هدایت الکتریکی و کربن آلی همبستگی مثبت ولی با وزن هزار دانه گندم همبستگی منفی داشت. بین جرم ویژه ظاهری در عمق ۱۵ و ۳۰ سانتیمتر همبستگی مثبت معنیدار وجود داشت. نیتروژن دانه گندم با فسفر خاک همبستگی مثبت و با وزن هزار دانه گندم همبستگی منفی داشت. فسفر دانه با درصد اشباع، کربن آلی، فسفر و پتانسیم قابل جذب خاک، درصد سیلت خاک و مقادیر پتانسیم دانه همبستگی مثبت داشت. پتانسیم دانه گندم نیز با درصد اشباع، قابلیت هدایت الکتریکی، کربن آلی، پتانسیم قابل جذب خاک، درصد سیلت خاک و مقادیر فسفر دانه همبستگی مثبت ولی با وزن هزار دانه گندم همبستگی منفی داشت. آمار توصیفی عملکرد دانه گندم اندازه‌گیری شده در نقاط تصادفی در مزرعه وزن هزار دانه در جدول ۱ ارائه گردیده است.

جدول ۱ - آمار توصیفی عملکرد دانه گندم اندازه‌گیری شده در نقاط تصادفی در مزرعه							
متغیر	واحد	کمینه	بیشنه	چولگی	واریانس	کشیدگی	
عملکرد دانه گندم	کیلوگرم	۲۵۵۰	۶۱۵۰	۴۹۲۰	۸۴۳۷۴۴	-۴۹/۰	-۶۲/۰
وزن هزار دانه	گرم	۲۳	۴۳	۳/۳۶	۴/۲۶	-۹۳/۰	۲۴/۰

جدول ۲ - مدل‌های برآش داده شده بر نیمتغییرنما تجربی و خلاصه‌ای از اطلاعات زمین‌آلاتی عملکرد دانه گندم و وزن هزار دانه							
RSS	R ^r	A.	$\frac{C_0}{C_0+C}$	C.+C	C.	مدل	فاکتور
۱۸/۴×۱۰ ^{۱۰}	۸۲۰/۰	۱۱۰۱	۴۱/۰	۱۲۹۳۰۰۰	۵۳۱۰۰۰	کروی	عملکرد دانه
۱۰۶	۹۱۳/۰	۹۹۲	۰۲/۰	۶/۵۳	۳/۱	کروی	وزن هزار دانه

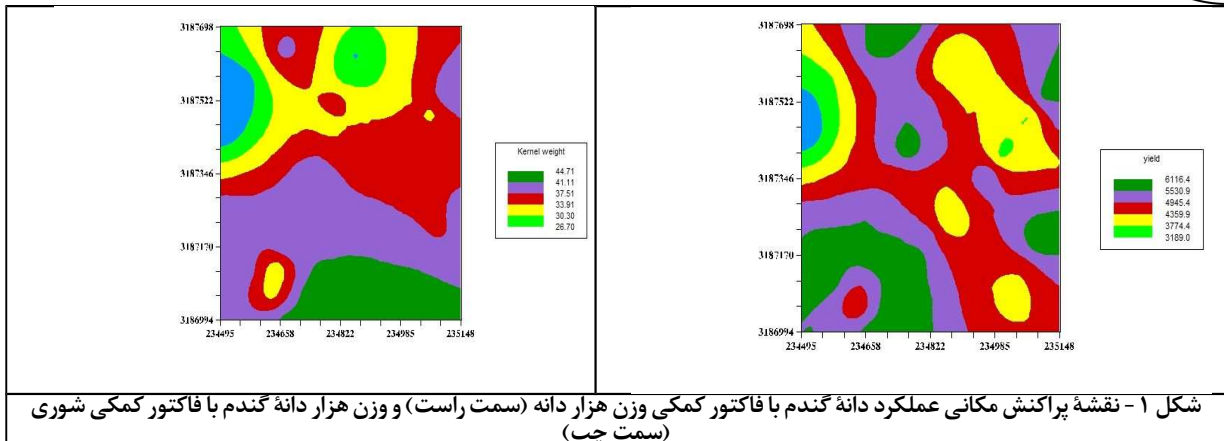
$\frac{C_0}{C_0+C}$

C: واریانس قطعه‌ای، C.+C: آستانه، A: دامنه تاثیر (متر)، R^r: ضریب تبیین و RSS: مجموع مربعات خطأ.

در جدول ۲ مشاهده می‌شود که برای عملکرد دانه وزن هزار دانه گندم بیشترین ضریب تبیین با مدل کروی حاصل شده که علاوه بر بیشترین ضریب تبیین، کمترین مقدار مجموع مربعات خطأ را داشت.

جدول ۳ - مدل‌های برآش داده شده بر نیمتغییرنما دوچانبه و خلاصه‌ای از اطلاعات زمین‌آلاتی عملکرد دانه گندم و وزن هزار دانه							
RSS	R ^r	A.	$\frac{C_0}{C_0+C}$	C.+C	C.	مدل	فاکتور
۱۸/۴×۱۰ ^{۱۰}	۸۲۰/۰	۱۱۰۱	۵/۰	۵۷۷۰	۳۳۰	کروی	Y^*Kw
۹۵/۶×۳-۱۰	۹۶۱/۰	۲۲۹	۰۲/۰	-۳۳۲/۰	-۰۰۱/۰	گوسی	Kw^*EC

برای عملکرد دانه وزن هزار دانه گندم بیشترین ضریب تبیین به ترتیب با مدل کروی و مدل گوسی حاصل شد که علاوه بر بیشترین ضریب تبیین، کمترین مقدار مجموع مربعات خطأ را داشت.

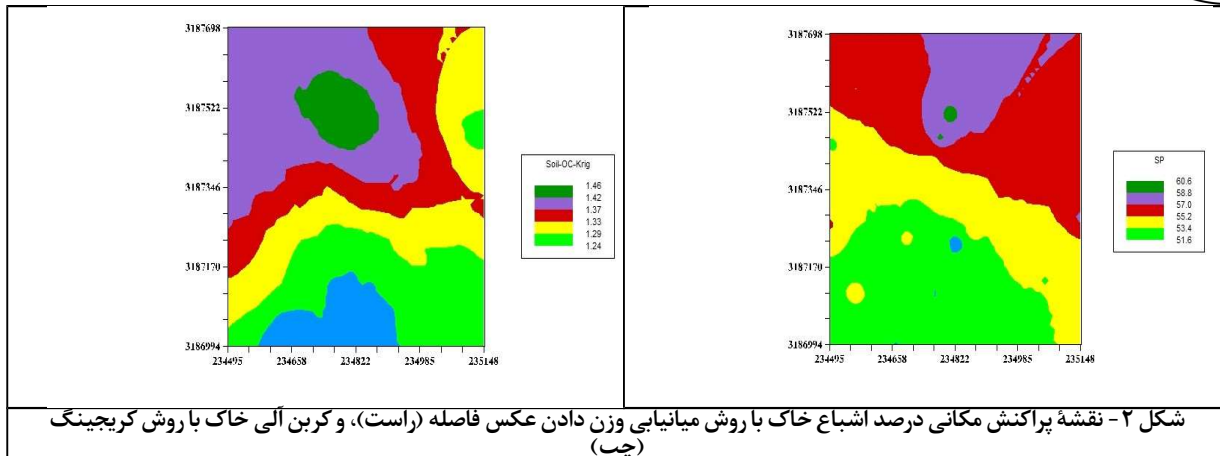


با توجه به نقشه پراکنش مکانی عملکرد دانه گندم مشاهده میشود که سطح وسیعی از مزرعه عملکرد پایین داشته که با مدیریت بهتر میتوان سطح تولید را به مقدار قابل ملاحظهای افزایش داد (شکل ۱)

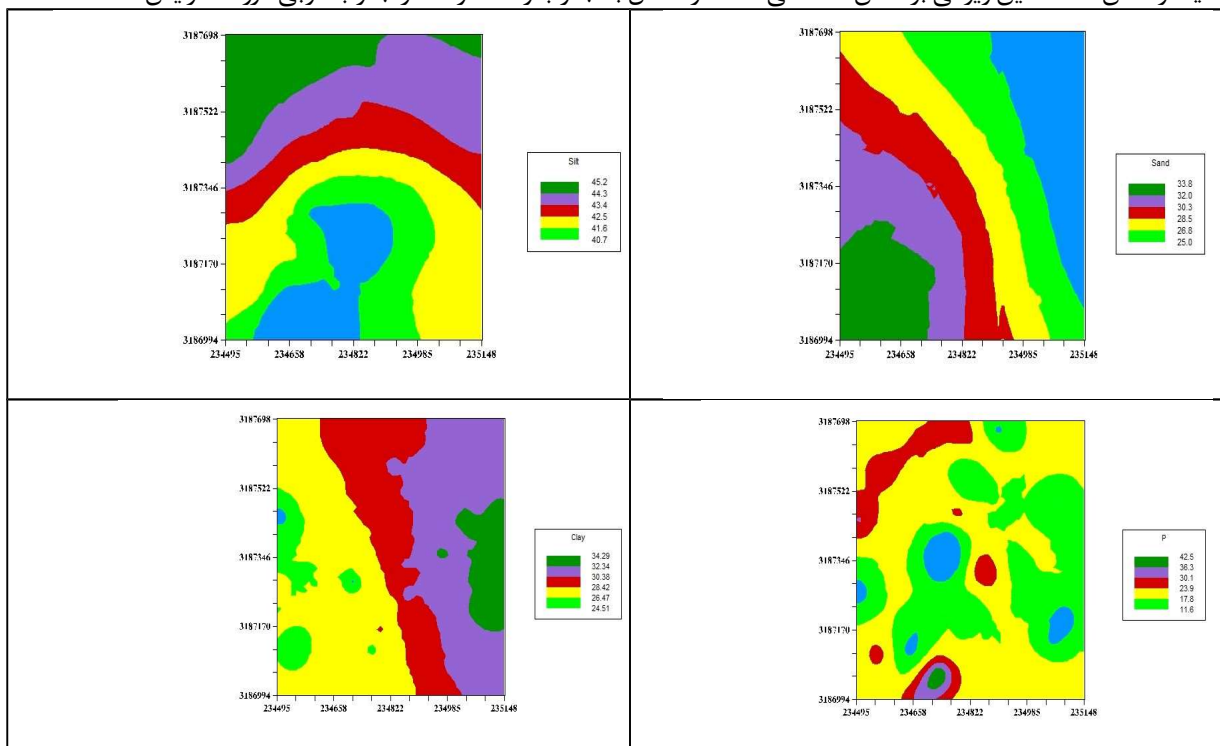
جدول ۴ - مدل‌های برآش داده شده بر نیمتغییرنمای تجربی و خلاصه‌ای از اطلاعات زمین‌ناماری ویژگیهای خاک							
RSS	R ²	A.	$\frac{C_0}{C_0+C}$	C.+C	C.	مدل	فاکتور
۳۸/۴x ^{-۱} ۰	۹۳۲/۰	۴۹۱	۲۰۶/۰	۷۹/۳x ^{-۱} ۰	۸۲/۷x ^{-۱} ۰	کروی	SP
۰۲/۱x ^{-۱} ۰	۸۱۶/۰	۴۳۲	۴۹۸/۰	۰۲۸۵/۰	۰۱۴۲/۰	نمایی	OC
۰۶/۸x ^{-۱} ۰	۸۸۵/۰	۱۰۳۰	۴۸۳/۰	۰۰۶۰/۰	۰۰۲۹/۰	نمایی	BD _d
۳/۱x ^{-۱} ۰	۳۱۳/۰	۱۲۰۵	۴۹۳/۰	۰۰۷۳/۰	۰۰۳۶/۰	نمایی	BD _r
۷۲/۴x ^{-۱} ۰	۹۱۲/۰	۱۰۵۲	۰۴۱/۰	۱۴۵۱/۰	۰۰۶/۰	گوسی	Sand
۶۳/۲	۹۰۴/۰	۱۱۹۱	۱۹۹/۰	۹۸۹/۹	۹۹/۱	کروی	Silt
۰۹/۷	۹۵۵/۰	۹۲۵	۰۱۲/۰	۵۱/۲۱	۲۶/۰	کروی	Clay
۳۶/۶x ^{-۱} ۰	۷۲۵/۰	۱۱۵	۳۶۹/۰	۰۱۱/۰	۰۰۴۱/۰	نمایی	pH
۵۲/۱x ^{-۱} ۰	۹۶۰/۰	۱۳۲۸	۲۱۴/۰	۰۴۳۴/۰	۰۰۹۳/۰	کروی	EC
۰۷/۷	۹۱۱/۰	۵۱۷	۱۸۷/۰	۰۹۸/۹	۷۰۰/۱	کروی	.T.N.V
۱۵/۱x ^{-۱} ۰	۸۴۷/۰	۱۱۹	۰۰۱/۰	۲۱۲۲/۰	۰۰۰۱/۰	کروی	P
۸۱/۱x ^{-۱} ۰	۹۷۱/۰	۶۱۰	۴۳۸/۰	۰۵۹۱/۰	۰۲۵۹/۰	کروی	K

بهترین مدل برای کربن آلی خاک، جرم ویژه ظاهری در عمق ۰-۱۵ و ۱۵-۳۰ مدل نمایی بود و بهترین مدل برای داده‌های درصد شن نیز مدل گوسی بود. نیمتغییرنمای منفرد پارامترهای SP و درصد شن و سیلت از ساختار مکانی فوی و پارامترهای OC، pH، و جرم ویژه ظاهری در عمق ۰-۱۵ و ۱۵-۳۰ خاک از ساختار مکانی متوسط برخوردار بود (جدول ۴).

بهترین مدل برآش داده شده بر نیمتغییرنمای منفرد درصد رس خاک مدل کروی بود که با ضریب تبیین ۸۳۲/۰ و با دامنه تاثیر ۵۷۲ متر، اثر قطعه‌ای آن ۶۲/۰ و مجموع رباعات خطای آن ۵/۳۴ بود. روش‌های میانیابی ویژگیهای خاک در مزرعه مورد مطالعه ارزیابی گردید که به دلیل محدودیت صفحات از ذکر آن خودداری میگردد.

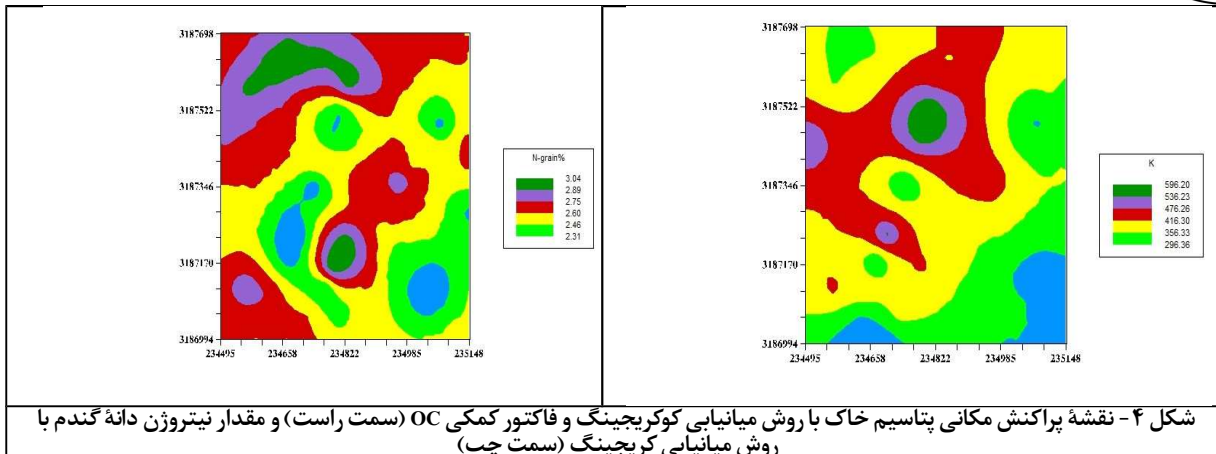


درصد اشباع خاک از جنوب غربی به شمال شرقی مزرعهٔ مورد مطالعه افزایش داشت. در شرایط فعلی که محدودیت آب و رطوبت خاک گلوگاه بوده اهمیت پارامتر درصد اشباع خاک پررنگتر میباشد (شکل ۲). کربن آلی خاک نشان داد که این ویژگی از جنوب به شمال و مخصوصاً شمال غربی مزرعه افزایش داشت (شکل ۲). نقشهٔ پراکنش مکانی جرم ویژه ظاهری خاک در عمق ۱۵-۳۰ سانتیمتر نشان داد که این ویژگی بر عکس ماده آلی خاک از شمال به جنوب و مخصوصاً در جنوب غربی مزرعه افزایش داشت.



شکل ۳- نقشهٔ پراکنش مکانی با روش میانیابی کریجینگ درصد شن خاک (سمت راست بالا)، درصد سیلت خاک (سمت چپ بالا)، فسفر خاک (سمت راست پایین) و درصد رس خاک با روش وزن دادن عکس فاصله (سمت چپ پایین)

نقشهٔ پراکنش درصد شن روند مشخصی را نشان داد. به طور کلی درصد شن از شمال شرقی به جنوب غربی افزایش داشت، درصد سیلت خاک از جنوب به شمال و درصد رس از غرب به شرق افزایش داشت، بیشترین مقادیر فسفر در نیمهٔ غربی مزرعه مشاهده گردید (شکل ۳).



شکل ۴ - نقشهٔ پراکنش مکانی پتاسیم خاک با روش میانیابی کوکریجینگ و فاکتور کمکی OC (سمت راست) و مقدار نیتروژن دانهٔ گندم با روش میانیابی کریجینگ (سمت چپ)

گرچه پراکنش مقادیر پتاسیم خاک با روش کوکریجینگ و با فاکتورهای کمکی مختلف از یک روند مشخص و تقریباً یکسان برخوردار بود ولی وجود فاکتورهای کمکی مختلف در برآورد پارامتر مزبور و میانیابی آن آزادی عمل را افزایش میدهد (شکل ۴). پراکنده‌گی مکانی مقدار نیتروژن، فسفر و پتاسیم دانهٔ گندم زیاد بود، و ضرورت اعمال مدیریت مناسب بر اساس شناخت از ویژگی خاک میتواند در تولید بهتر و پایدارتر کمک شایان توجهی نماید. مقادیر نیتروژن دانهٔ گندم در مزرعه مورد مطالعه تغییرات قابل ملاحظه‌ای را داشت. در عمدۀ سطح مزرعه مقدار آن از سطح پایینی برخوردار بود (شکل ۴). مقادیر پایینتر فسفر دانهٔ گندم در قسمت جنوبی مزرعه دیده شد. مقدار فسفر دانه از جنوب به شمال و بخصوص در شمال شرقی افزایش نشان داد (شکل ارائه نگردید).

منابع

- Cerri, C.E.P. Bernoux, M. Chaplot, V. Volkoff, B. Victoria, R.L. Melillo, J.M. Paustian, K. and Cerri, C.C. ۲۰۰۴. Assessment of soil property spatial variation in an Amazon pasture: basis for selecting an agronomic experimental area. *Geoderma*, ۱۲۳: ۵۱-۶۸.
- Ersahin, S. ۲۰۰۱. Spatial variability of some physical and chemical soil properties in an alluvial field. *Appl. Eng. Agric.*, ۱۳: ۳۴-۴۱.
- Kirwan, N. Oliver, M.A. Moffat, A.J. and Morgan, G.W. ۲۰۰۵. Sampling the soil in long-term forest plots: the implication of spatial variation. *Environmental Monitoring and Assessment*, ۱۱۱: ۱۴۹-۱۷۲.
- Liu, X. Zhang, W. Zhang, M. Ficklin, D.L. and Wang, F. ۲۰۰۹. Spatio-temporal variations of soil nutrients influenced by an altered land tenure system in China. *Geoderma*, ۱۵۲: ۲۳-۳۴.
- Moritsuka, N. Yanai, J. Umeda, M. and Kosaki, T. ۲۰۰۴. Spatial relationships among different forms of soil nutrients in a paddy field. *Soil Sci. Plant Nut.*, ۵۰(۴): ۵۶۵-۵۷۲.
- Newman, S. Reedy, K.R. DeBusk, W.F. Wang, Y. Shih, G. and Fisher, M.M. ۱۹۹۷. Spatial distribution of soil nutrients in northern Everglades's marsh: water conservation area. *Soil Sci. Soc. Am. J.*, 61: 1275-1283.
- Oake-Anti, D. and Ogoe, J.I. ۲۰۰۹. Analysis of variability of some properties of a semideciduous forest soil. *Communications in Soil Science and Plant Analysis*, 37: 211-223.
- Pérez-Rodríguez, R. Marques, M.J. Bienes, R. ۲۰۰۷. Spatial variability of the soil erodibility parameters and their relation with the soil map at subgroup level. *Sci. Total Environ.*, 378: 166-173.
- Rossi, J. Govaerts, A. DeVos, B. Verbist, B. Vervoort, A. Poessens, J. Muys, B. and Deckers, J. ۲۰۰۹. Spatial structures of soil organic carbon in tropical forests- A case study of Southeastern Tanzania. *Catena*, 77: 19-27.
- Sepaskhah, A.R. Ahmadi, S.H. and Nikbakht Shahbazi, A.R. ۲۰۰۵. Geostatistical analysis of sorptivity for a soil under tilled and no-tilled conditions. *Soil Till. Res.*, 83: 237-245.
- Wang, X.Z. Liu, G.S. Hu, H.C. Wang, Z.H. Liu, Q.H. Liu, X.F. Hao, W.H. and Li, Y.T. ۲۰۰۹. Determination of management zones for a tobacco field based on soil fertility. *Computers and Electronics in Agriculture*, 65(2): 168-175.



Abstract

Determination of nutrient elements at different points of field and optimum management of soil parameters lead to increase production and conservation of soil and water resources. For this purpose the spatial variability of macro-nutrients in soil and wheat grain, saturation percentage (SP), bulk density, particle size percentage, T.N.V., EC, pH and wheat yield were evaluated. Soil and wheat grain samples were taken randomly from ۳۶ points with suitable distribution. The interpolation of parameters in non-sampled areas were predicted using kriging, inverse distance weighted, and co-kriging methods and the experimental semi-variograms were fitted to the linear, exponential, Gaussian, and spherical models. Results showed that there was linear logical correlation between different parameters. Wheat grain yield with an average of ۴۹۲⁺ kg per hectare ranged from ۷۵۵⁺ to ۶۱۵⁺ for different locations. The best variogram model for grain yield and kernel weight was spherical model. The best variogram model for EC, T.N.V., P, and K was spherical model, and for pH was exponential model. The best interpolation method for T.N.V. was inverse distance weighting method, and for pH, EC, P and K was kriging method, and for potassium with co-factor of SP, OC, and Mn was co-kriging. Amounts of soil EC and K increased from southeast to northwest of farm. The spatial structure of nitrogen and phosphorus concentration in wheat grain was strong and for potassium concentration in wheat grain was medium. The best variogram model for potassium concentration in wheat grain with co-factor of OC and soil pH was spherical model, and for co-factor of soil silt percent was Gaussian model. The best interpolation method for wheat grain nitrogen concentration was kriging method, and for phosphorus and potassium concentration in wheat grain was inverse distance weighting method.